平板上で相対運動する PVA ブラシノジュールの変形及び接触軌跡解析

Deformation and contact path of PVA brush nodule in relative motion on a flat plate

静大工 1 , 在原製作所 2 $^{\circ}$ (M10) 鈴木 翔大 1 ,水嶋 祐基 1 ,濱田 聡美 2 ,小篠 諒太 2 ,福永 明 2 ,真田 俊之 1

Shizuoka Univ. ¹, Ebara Corp. ², [°]Shota Suzuki ¹, Yuki Mizushima ¹ Satomi Hamada ², Ryota Koshino ²,

Akira Fukunaga ², Toshiyuki Sanada ¹,

E-mail: Suzuki.shota.18@shizuoka.ac.jp

近年、半導体デバイスの微細化や多層化が非常に進んでおり、それに伴いウェハ表面を研磨し 平坦化する CMP プロセスが重要となった。この CMP 後のウェハには多くの不純物が付着してお り、その後洗浄では PVA ブラシを用いたスクラブ洗浄が広く利用されている。近年では除去すべ き不純物がナノサイズオーダーとなっており、単なるブラシへの付着による不純物の除去が困難 となっている。そこで我々は、PVA ブラシが表面に接触し変形するの際のブラシからの液体の移 動に着目し、より効率的な洗浄に向けて検討を行っている。本研究では、鉛直軸を中心に回転す るウェハ上で、水平軸を中心に回転するブラシの相対運動を再現し、ブラシとウェハ接触時のブ ラシ変形及び接触軌跡を解析した。

ブラシとウェハの接触を可視化した結果, 3つの接触タイプに分けられた. これらの接触タイプは接触位置や回転数に依存し, さらに接触の違いはブラシの変形に起因することが明らかとなった. Fig. 1 にブラシとウェハの回転数がそれぞれ 100, 50 rpm における各接触タイプにおけるブラシとウェハの接触面積の時間変化を示す. 図から各接触タイプで接触面積の時間変化が大きく異なる結果となった. これらのブラシ変形と洗浄や再汚染の関連についての報告を行う.

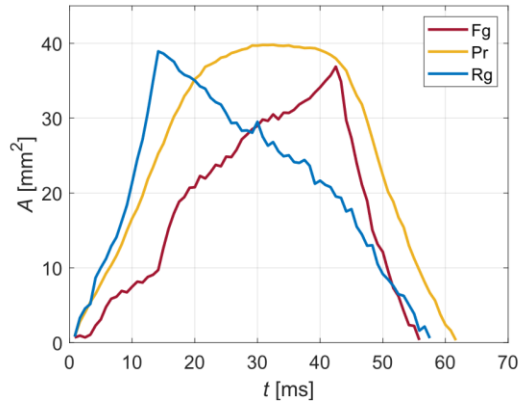


Fig.1 Temporal evolution of the contact area *A* for different contact modes, Fg (Front gap), Pr (Pressing), and Rg (Rear gap) contact [1]. The rotational speeds of the brush and wafer were 100 and 50 rpm.

[1] S. Suzuki et al., Nodule contact path of polyvinyl acetal roller brushes on a rotating plate and its relation to cross contamination, *Microelectronic Eng.*, vol. 269, 111917 (2023).